



علوم و تحقیقات بذر ایران
سال پنجم / شماره سوم / ۱۳۹۷ (۴۷ - ۶۱)



DOI: 10.22124/jms.2018.2934

تأثیر نانو دی اکسید تیتانیوم و نیترو پروساید سدیم بر شاخص‌های جوانه‌زنی بذر، بنیه و آنزیم‌های آنتی اکسیدانت گیاهچه‌ی جو افضل تحت تنش شوری

*۱ افшин کرمی، *۲ علی سپهری

تاریخ پذیرش: ۱۳۹۶/۶/۲۱

تاریخ دریافت: ۱۳۹۶/۱/۶

چکیده

شوری از مهم‌ترین عوامل محدود کننده رشد و عملکرد گیاهان زراعی در بسیاری از مناطق دنیا است. به منظور بررسی اثر نانو دی اکسید تیتانیوم و نیترو پروساید سدیم بر شاخص‌های جوانه‌زنی و میزان آنزیم‌های آنتی اکسیدانت گیاهچه‌های جو رقم افضل تحت تنش شوری آزمایشی به صورت فاکتوریل در قالب طرح کاملاً تصادفی با چهار تکرار انجام شد. فاکتورهای مورد مطالعه شامل ۱. نانو دی اکسید تیتانیوم در چهار سطح (۰، ۵۰۰، ۱۰۰۰ و ۲۰۰۰ میلی گرم در لیتر)، ۲. نیترو پروساید سدیم در دو سطح (۰ و ۱۰۰ میکرومولار) و ۳. تنش شوری در سه سطح (۰، ۵۰ و ۱۰۰ میلی مولار کلرید سدیم) بودند. تنش شوری شاخص‌های جوانه‌زنی بذر مانند درصد و سرعت جوانه‌زنی، شاخص بنیه، طول ریشه‌چه، طول ساقه‌چه، میانگین زمان جوانه‌زنی و محتوی رطوبت نسبی برگ در گیاهچه را کاهش و نشت الکتروولیتی غشاء را افزایش داد. در حضور نانو دی اکسید تیتانیوم اکثر شاخص‌های جوانه‌زنی و فعالیت آنزیم‌های آنتی اکسیدانت کاتالاز (CAT)، آسکوربات پراکسیداز (APX) و به ویژه سوپر اکسید دیسموتاز (SOD) افزایش یافتند. کاربرد نیترو پروساید سدیم موجب تعدیل نشت الکتروولیتی غشاء (EL) و اثرات منفی تنش شوری شد. برهمکنش نانو دی اکسید تیتانیوم (۵۰۰ میلی گرم در لیتر) و نیترو پروساید سدیم (۱۰۰ میکرومولار)، میزان آنزیم‌های سوپر اکسید دیسموتاز، آسکوربات پراکسیداز و کاتالاز را تحت تنش ۱۰۰ میلی مولار کلرید سدیم به ترتیب ۲۸، ۱۶/۸ و ۱۷/۹ درصد افزایش داد. به نظر می‌رسد نیترو پروساید سدیم در حضور نانو دی اکسید تیتانیوم از طریق تعدیل اثرات بازدارنده کلرید سدیم، بر بهبود شاخص‌های جوانه‌زنی و میزان آنزیم‌های آنتی اکسیدانت گیاهچه‌های جو تاثیر مناسب داشته باشد.

واژه‌های کلیدی: تخفیف‌دهنده تنش، کلرید سدیم، نانو ذره

۱- دانشجوی دکتری فیزیولوژی گیاهان زراعی، دانشکده کشاورزی، دانشگاه بوعلی سینا، همدان، ایران

۲- دانشیار، گروه زراعت و اصلاح نباتات، دانشکده کشاورزی، دانشگاه بوعلی سینا، همدان، ایران

*نویسنده مسئول: Sepehri110@yahoo.com

مقدمه

گیاهان مفید باشند. در سال‌های اخیر، به نقش مفید نیتریک اکسید (NO) در افزایش سبزینگی، جوانهزنی بذر و بهبود تحمل به تنش گیاهان در شرایط تنفس‌زا از جمله Seabra، خشکی و فلزات سنگین اشاره شده است (Seabra *et al.*, 2015). در این میان نیترو پروساید سدیم (SNP) (Ghadi, 2014)، به عنوان یک ترکیب آزاد کننده نیتریک اکسید (NO)، نقش‌های متنوعی در رشد، توسعه و تحمل گیاهان به تنفس ایفا می‌کند (Tan *et al.*, 2013). تاثیر NO به عنوان یک مولکول فعل زیستی بر روی بسیاری از فرآیندهای فیزیولوژیکی و شیمیایی گیاهان از جمله تنظیم پاسخ‌های سازشی به تنفس‌های زیستی و غیر زیستی به خوبی اثبات شده است (Besson-Bard *et al.*, 2008; Khot *et al.*, 2012; Siddiqui and Al-Whaibi, 2014). اخیراً برخی محققین اظهار نموده‌اند نیتریک اکسید می‌تواند تاثیرات جالب توجهی بر روابط Seabra *et al.*, 2015) در حال حاضر مطالعات محدودی بر روی تاثیر NO و نانو ذرات بر روی گیاهان زراعی از جمله جو به عنوان چهارمین غله مهم دنیا صورت گرفته است. هدف از این پژوهش، ارزیابی اثر نانو ذره دی‌اکسید تیتانیوم در حضور نیترو پروساید سدیم بر شاخص‌های جوانهزنی، رشد گیاهچه و فعالیت آنزیم‌های آنتی‌اکسیدانت جو تحت تنفس شوری بوده است.

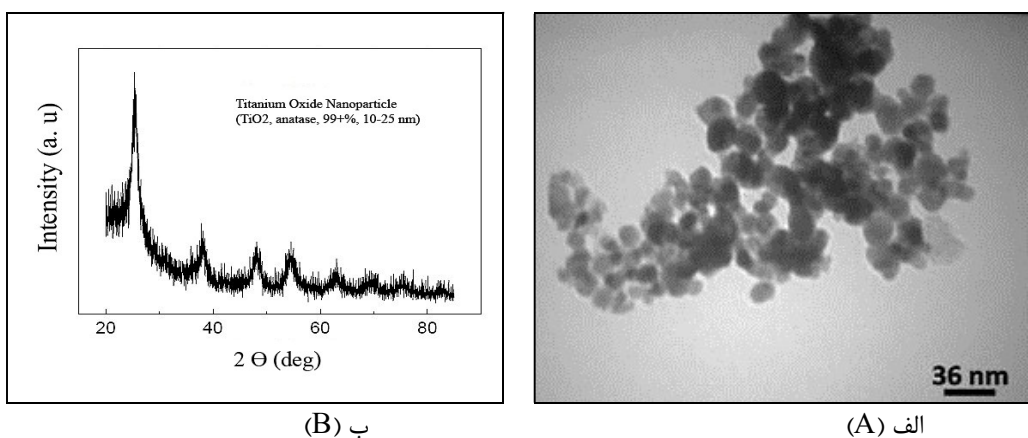
مواد و روش‌ها

آزمایش به صورت فاکتوریل در قالب طرح کاملاً تصادفی با چهار تکرار روى بذر جو رقم افضل در دانشگاه بوعلي سينا همدان و در سال ۱۳۹۵ انجام شد. فاکتورهای آزمایش شامل نانو دی‌اکسید تیتانیوم در چهار سطح (۰، ۵۰، ۱۰۰ و ۲۰۰۰ میلی‌گرم در لیتر) و نیترو پروساید سدیم در دو سطح (۰ و ۱۰۰ میکرومولار) بود که تحت سطوح شوری (۰، ۵۰ و ۱۰۰ میلی‌مولار کلرید سدیم) مورد بررسی قرار گرفتند. نانو دی‌اکسید تیتانیوم (اندازه ذرات ۱۰ تا ۲۵ نانومتر و خلوص ۹۹ درصد) از کمپانی نانوسانی تهیه گردید (شکل ۱ الف). بر اساس طیف سنجی پراش پرتو ایکس (XRD) نانو ذرات تیتانیوم مورد بررسی به فرم آناناتز بودند (شکل ۱ ب).

در سال‌های اخیر، محققین از پتانسیل‌های نانو- تکنولوژی به عنوان ابزاری در جهت افزایش عملکرد گیاهان زراعی استفاده کرده‌اند. در این خصوص استفاده از تأثیر نانو ذرات بر روابط رشدی گیاهان مورد تاکید قرار گرفته است (Misra *et al.*, 2016). در این صورت ورود نانو ذرات به محیط زیست و اکوسیستم‌های زراعی که در اثر مصرف آنها در تولیدات صنعتی به صورت کود، حشره- کش، آفت‌کش، قارچ‌کش، علف‌کش، مواد مغذی و محرك رشد و یا از طریق آبیاری با فاصلاب صورت می‌گیرد، مساله‌ای اجتناب ناپذیر است (Gogos *et al.*, 2012; Khot *et al.*, 2012; Siddiqui and Al-Whaibi, 2014).

نانو دی‌اکسید تیتانیوم (n-TiO₂) بیشترین مقدار تولید صنعتی و کاربرد در صنایع مختلف از جمله کشاورزی را در بین نانو ذرات به خود اختصاص داده است (Baiazidi Aghdam *et al.*, 2016). بر اساس مستندات موجود، نانو دی‌اکسید تیتانیوم پتانسیل تاثیرگذاری بر خصوصیات رشدی، فیزیولوژیکی و مورفو‌لولوژیکی گیاهان را دارد (Raliya *et al.*, 2015; Khot *et al.*, 2012; Li *et al.*, 2015). محمودزاده و عقیلی (Mahmoodzadeh and Aghili, 2014) به تغییر شاخص‌های جوانهزنی و رشد گیاهچه‌ای گندم در اثر مصرف نانو دی‌اکسید تیتانیوم اشاره نموده‌اند. در آزمایشی دیگر نانو دی‌اکسید تیتانیوم موجب افزایش درصد جوانهزنی بذر رازیانه شده است (Feizi *et al.*, 2013). برخی محققین اظهار داشتند که نانو دی‌اکسید تیتانیوم می‌تواند موجب بهبود رشد گیاهان تحت شرایط تنفس‌های غیر زیستی همچون شوری و خشکی شود (Nasir Khan, 2016; Kiapour *et al.*, 2015).

شوری از مهم‌ترین عوامل محدود کننده رشد و عملکرد گیاهان زراعی در بسیاری از مناطق دنیا به شمار می‌آید. تنفس شوری از مسیرهای مختلف از جمله تنفس آب، سمیت‌یونی، اثرات اسمزی، تغییر فرآیندهای متابولیکی، به هم ریختگی غشاء و فرآیندهای غشایی، کاهش تقسیم سلولی و اختلال در تغذیه، بقا و رشد گیاه Djanaguiraman and Prasad, 2013) را تحت تأثیر قرار می‌دهد (در شرایط تنفس‌زا، استفاده از ترکیبات تخفیف دهنده‌ی تنفس می‌تواند در بهبود شرایط رشدی

شکل ۱- (الف) عکس TEM مربوط به n-TiO₂ (ب) طیف سنجی XRD مربوط به n-TiO₂Figure 1. Transmission electron microscopy (TEM) images of n-TiO₂ (A). X-ray diffraction pattern of n-TiO₂ (B)

که در آن Ni تعداد کل بذرهای جوانه‌زده در روز آخر شمارش و N تعداد کل بذرها است. به منظور محاسبه سرعت جوانه‌زنی از رابطه دو استفاده گردید (Khan *et al.*, 1984).

$$\text{GR} = \frac{\sum (100 \text{ Gi})}{nti} \quad (2)$$

که در آن Gi تعداد بذرهای جوانه‌زده در روز i ام، t روز نم N تعداد بذرهای به کار رفته در آزمایش است. محاسبه میانگین جوانه‌زنی از رابطه سه صورت گرفت (Ellis and Roberts, 1981).

$$\text{MGT} = \sum (n \times d) / N \quad (3)$$

که در آن n تعداد روزها از شروع جوانه‌زنی، d تعداد بذور جوانه‌زده در هر روز و N تعداد کل بذور جوانه‌زده است (Abdul-Baki and Anderson, 1973).

$$\text{VI} = \frac{\text{GP} (\%)}{100} \times \frac{\text{SL} (\text{mm})}{\text{mn}} \quad (4)$$

که در آن GP درصد جوانه‌زنی و SL طول گیاهچه (میلی‌متر) است به منظور محاسبه محتوی رطوبت نسبی از رابطه پنج استفاده شد (Shalaby *et al.*, 1993).

$$\text{RWC} = (FW - DW / FW) \times 100 \quad (5)$$

که در آن FW وزن تر گیاهچه و DW وزن خشک گیاهچه است. جهت اندازه‌گیری میزان نشت پذیری غشاء^۱، ۰.۵ گرم بافت سیز برگ پس از شستشو با آب مقطر، به مدت ۶ ساعت در ۱۰ میلی‌لیتر آب مقطر در

جو افضل رقمی نیمه پاکوتاه، نیمه زودرس، متحمل به شوری با منشا اردکان یزد است (Qazvin *et al.*, 2002). بذر گواهی شده جو افضل تولید سال ۱۳۹۴ بوده و از موسسه تحقیقات اصلاح و تهیه نهال و بذر کرج تهیه گردید. پیش از شروع آزمایش، بذور جو با استفاده از محلول هیپوکلریت سدیم ۰٪ درصد به مدت یک دقیقه ضد عفونی شده و با آب مقطر شسته شدند. سپس در هر پتری ۲۵ بذر جو قرار داده شده و بذور تحت تیمار مربوطه قرار گرفتند. به منظور تهیه محلول یکنواخت از نانو دی-اکسید تیتانیوم علاوه بر شیکر معمولی، محلول مذکور به مدت ۳۰ دقیقه در حمام الکتراسونیک قرار داده شد و در نهایت در ترکیب با سطوح نیترو پروسايد سدیم و شوری مربوطه به پتری‌ها اضافه شد. آزمایش جوانه‌زنی به مدت ۷ روز، در تاریکی و در دمای ۲۵±۱ درجه سانتی‌گراد، در محیط ژرمنیاتور انجام گرفت (Sepehri and Ruhi, 2016) و شمارش بذرها به صورت روزانه انجام شد. معیار جوانه‌زنی خروج ریشه‌چه به اندازه دو میلی‌متر بود. در پایان آزمایش پس از اندازه‌گیری طول ریشه‌چه و ساقه‌چه، وزن تر بخش‌های مذکور تعیین گردید. سپس اندام گیاه به مدت ۴۸ ساعت در آون با دمای ۷۲ درجه سانتی‌گراد قرار گرفته و به منظور تعیین وزن خشک توزین شدند. برای محاسبه درصد جوانه‌زنی از رابطه یک استفاده شد (Bajji *et al.*, 2002).

$$\text{GP} = \left(\frac{\text{M}_1}{\text{N}} \right) \times 100 \quad (1)$$

^۱ Electrolyte Leakage

گردید (جدول ۲). تیمار مذکور درصد جوانهزنی در سطوح تنش شوری ۵۰ و ۱۰۰ میلیمولاً را نسبت به شاهد به ترتیب به میزان $\frac{23}{8}$ و $\frac{29}{22}$ درصد ارتقا داد (جدول ۲). کاهش اثرات منفی تنش شوری و خشکی با حضور نانو دی اکسید تیتانیوم قبل از گزارش شده است (Nasir Khan, 2013; Jaberzadeh *et al.*, 2013). نانو دی اکسید تیتانیوم از طریق افزایش جذب آب و اکسیژن توسط بذر موجب بهبود درصد جوانهزنی بذر می‌گردد (Zheng *et al.*, 2005). با ورود ذرات نانو تیتانیوم به داخل سلول‌های بذر، واکنش‌های اکسیداسیون احیا از طریق رادیکال یون سوپر اکسید تشدید شده و منجر به دفع رادیکال‌های آزاد در بذرها در حال جوانهزنی می‌شود، همچنین اکسیژن تولید شده در چنین فرآیندی می‌تواند صرف تنفس شده و جوانهزنی را تحریک نماید (Zheng *et al.*, 2005; Pais, 1983). البته گزارشاتی در خصوص اثرات منفی نانو دی-اکسید تیتانیوم بر جوانهزنی برخی بذور وجود دارد (Frazier *et al.*, 2014). به نظر مرسد اثرات ترکیبات نانو در گیاهان بسته به نوع گیاه، مرحله رشدی، نوع نانو ذره، خصوصیات فیزیکو شیمیایی ذره و مقدار آن در شرایط مختلف متفاوت باشد (Baiazidi Aghdam *et al.*, 2016). بهبود جوانهزنی بذور جو در اثر نیتریک اکسید را می‌توان به افزایش فعالیت آنزیم‌های آلفا و بتا آمیلاز در بذر و تبدیل سریع‌تر نشاسته به قند نسبت داد، این مسئله موجب افزایش درصد جوانهزنی بذور و کاهش اثرات بازدارنده‌ی تنش شوری بر جوانهزنی بذر می‌گردد (Zheng *et al.*, 2009).

در جدول ۲ نشان داده شده است که با افزایش میزان شوری سرعت جوانهزنی بذور کاهش یافت. تنش شوری با ایجاد خشکی فیزیولوژیک مانع جذب رطوبت کافی توسط بذر شده و سرعت جوانهزنی را کاهش می‌دهد (Fathi, 2012). در این آزمایش مشخص شد که در حضور نانو دی اکسید تیتانیوم، اثر بازدارنده شوری بر سرعت جوانهزنی کاهش می‌یابد (جدول ۲). اثر مثبت نانو دی اکسید تیتانیوم بر سرعت جوانهزنی بذور در تحقیقات دیگر نیز گزارش شده است (Feizi *et al.*, 2013). نیترو پروساید سدیم (۱۰۰ میکرومولاً) نیز موجب کاهش اثر منفی شوری بر سرعت جوانهزنی بذر جو شد (جدول ۲). برهمکنش $500 \times$ میلی‌گرم نانو دی اکسید تیتانیوم و ۱۰۰ میکرومولاً نیترو پروساید سدیم سرعت

دمای اتاق شناور گردید و سپس هدایت الکتریکی آب توسط هدایت‌سنجه در دمای اتاق سنجیده شد (EC₁). سپس نمونه‌ها به بن‌ماری منتقل شده و به مدت ۲ ساعت در دمای ۹۰ درجه سانتی‌گراد قرار گرفتند. پس از خنک شدن نمونه‌ها، مجدداً هدایت الکتریکی اندازه گیری شد (EC₂) و با استفاده از رابطه شش نشت پذیری غشاء محاسبه گردید (Nazari *et al.*, 2011).

$$\text{رابطه (۶)} = (\text{EC}_1 / \text{EC}_2) \times 100$$

به‌منظور اندازه‌گیری میزان فعالیت آنزیم‌های سوپر اکسید دیسموتاز، کاتالاز و آسکوربات پراکسیداز به ترتیب از روش‌های بولر و همکاران (Bowler *et al.*, 1991) بریتون و همکاران (Britton *et al.*, 1955) و ناکانو و آداسا (Nakano and Asada, 1987) استفاده شد. تجزیه SAS و آماری داده‌های بدست آمده با استفاده از نرم افزار LSD مقایسه میانگین داده‌ها از طریق آزمون احتمال ۵ درصد انجام و نمودارها با نرم‌افزار Excel رسم شدند.

نتایج و بحث

نتایج تجزیه واریانس داده‌ها در رابطه با اثرات نانو دی-اکسید تیتانیوم، نیترو پروساید سدیم و برهمکنش آن‌ها تحت تنش شوری بر صفات مورد بررسی در جدول ۱ نشان داده شده است. بر این اساس، تنش شوری اثر منفی و بازدارنده‌ای بر درصد جوانهزنی بذور جو داشته و با تشدید شوری درصد جوانهزنی کاهش یافته است. در سطوح ۵۰ و ۱۰۰ میلی‌مولاً کلرید سدیم درصد جوانهزنی به ترتیب $\frac{16}{5}$ و $\frac{37}{3}$ درصد نسبت به شاهد کاهش نشان داد (جدول ۲). کاهش درصد جوانهزنی در چنین شرایطی می‌تواند به دلیل عدم تعادل اسمزی، کاهش جذب آب، ایجاد سمیت یونی و در نهایت آسیب به اندامک‌های سلولی باشد (Ibrahim, 2016). در این آزمایش کاربرد نانو دی اکسید تیتانیوم و نیترو پروساید سدیم سبب بهبود درصد جوانهزنی بذور جو گردید (جدول ۲). هر چند که تاثیر نیترو پروساید سدیم بر درصد جوانهزنی در شرایط تنش شوری بیشتر مشهود بود (جدول ۲). با توجه به معنی‌دار بودن برهمکنش نانو دی اکسید تیتانیوم \times نیترو پروساید سدیم \times شوری، بیشترین درصد جوانهزنی در تیمار $500 \times$ گرم در لیتر نانو دی اکسید تیتانیوم و ۱۰۰ میکرومولاً نیترو پروساید سدیم در سطوح مختلف شوری حاصل

تحفیف‌دهنده در شرایط بدون تنش کمتر مشاهده شد (جدول ۲). بهبود رشد ریشه‌چه در اثر SNP را می‌توان به نقش نیتریک اکسید در افزایش فعالیت آنزیم‌های موثر در جوانه‌زنی و رشد ریشه ربط داد (Zheng *et al.*, 2009).

با توجه به معنی‌دار شدن اثر متقابل نیترو پروساید سدیم × شوری بر طول ساقه‌چه (جدول ۱)، مقایسه میانگین اثرات متقابل نشان داد کاربرد نیترو پروساید سدیم (۱۰۰ میکرومولار) موجب افزایش ۱۱/۲ و ۹/۷ درصدی طول ساقه‌چه جو تحت تنش شوری ۵۰ و ۱۰۰ میلی‌مولا ر شد (شکل ۲ الف). برخی محققین اظهار نموده‌اند نیترو پروساید سدیم با کاهش میزان آنزیم لیپوکسیژناز که تحت تنش شوری سنتز می‌شود از اکسیداسیون اسیدی های چرب جلوگیری و سبب حفاظت سلول‌های گیاهی می‌شود و از اثر سوء تنش بر طول ساقه‌چه می‌کاهد (He et al., 2014). بر اساس نتایج برهمکنش نانو دی اکسید تیتانیوم × شوری، بیشترین طول ساقه‌چه در غلظت ۵۰۰ میلی‌گرم نانو دی اکسید تیتانیوم در سطوح ۵۰ و ۱۰۰ میلی‌مولا ر شوری مشاهده شد (شکل ۲ ب). قابل ذکر است در شرایط عدم تنش شوری، بین گلظت‌های مختلف نانو دی اکسید تیتانیوم از نظر تأثیر بر طول ساقه‌چه اختلاف معنی‌داری دیده نشد (شکل ۲ ب). گزارش شده که نانو دی اکسید تیتانیوم با افزایش تقسیم سلولی موجب طویل شدن اندام‌های گیاه از جمله ریشه و ساقه می‌گردد (Farahani *et al.*, 2012).

علاوه بر اثرات ساده‌ی نانو دی اکسید تیتانیوم، نیترو پروساید سدیم و تنش شوری، برهمکنش دوگانه فاکتورهای مذکور بر شاخص بنیه جو معنی‌دار بود (جدول ۱). با توجه به اثر متقابل نیترو پروساید سدیم × تنش شوری مشاهده می‌شود که مصرف ۱۰۰ میکرومولا ر نیترو پروساید سدیم در افزایش معنی‌دار شاخص بنیه جو تحت شرایط تنش شوری و عدم تنش موثر است (شکل ۲ ج). همچنین بر اساس برهمکنش نانو دی اکسید تیتانیوم × تنش شوری، بیشترین شاخص بنیه بذر در تیمار ۵۰۰ میلی‌گرم نانو دی اکسید تیتانیوم در لیتر تحت تنش شوری ۵۰ و ۱۰۰ میلی‌مولا حاصل شد. تیمار مذکور شاخص‌بنیه ۳۶/۶ و ۴۳/۵ درصد تحت تنش شوری ۵۰ و ۱۰۰ میلی‌مولا ر ارتقاء بخشد (شکل ۲ د). از سوی دیگر در شرایط عدم تنش شوری (شاهد) بین گلظت‌های ۵۰۰ و

جوانه‌زنی در سطوح شوری ۵۰ و ۱۰۰ میلی‌مولا ر به ترتیب ۳۱/۱ و ۳۳/۹ درصد نسبت به شاهد بهبود داد (جدول ۲). اثر مثبت نانو دی اکسید تیتانیوم بر سرعت جوانه‌زنی در شرایط شوری در حضور نیترو پروساید سدیم بیشتر قابل مشاهده بود. تیمار ۵۰۰ میلی‌گرم نانو دی اکسید تیتانیوم + ۱۰۰ میکرومولا ر نیترو پروساید سدیم سرعت جوانه‌زنی را ۱۰/۸ درصد نسبت به کاربرد انفرادی ۵۰۰ میلی‌گرم نانو دی اکسید تیتانیوم تحت شوری ۵۰ و ۱۰۰ میلی‌مولا ر به ترتیب افزایش داد (جدول ۲). گزارش شده نیتریک اکسید از طریق تجمع اسمولیت‌های آلی و املاح سازگار، به تنظیم و حفظ فشار تورگور سلول و دسترسی به آب کمک نموده و موجب افزایش سرعت جوانه‌زنی بذر می‌شود (Guo *et al.*, 2009).

بر اساس نتایج تجزیه واریانس داده‌های آزمایش، علاوه بر اثرات ساده نانو دی اکسید تیتانیوم، نیترو پروساید سدیم و سطوح شوری، اثر متقابل سه‌گانه‌ی فاکتورهای مذکور بر طول ریشه‌چه گیاه جو معنی‌دار بود (جدول ۱). در بین تیمارهای مورد بررسی، بیشترین طول ریشه‌چه ۱۸ سانتی‌متر) در تیمار ۵۰۰ میلی‌گرم در لیتر نانو دی اکسید تیتانیوم + ۱۰۰ میکرومولا ر نیترو پروساید سدیم و در شرایط عدم تنش شوری حاصل گردید. تیمار مذکور در شوری‌های ۵۰ و ۱۰۰ میلی‌مولا نیز بیشترین طول ریشه‌چه را داشت (جدول ۲). برای مثال، تیمار ۵۰۰ میلی‌گرم در لیتر نانو دی اکسید تیتانیوم + ۱۰۰ میکرومولا ر نیترو پروساید سدیم طول ریشه‌چه را ۳۰/۹ و ۳۴ درصد تحت تنش شوری ۵۰ و ۱۰۰ میلی‌مولا ارتقاء بخشد (جدول ۲). از دلایل کاهش طول ریشه‌چه در شرایط تنش شوری می‌توان به کاهش یا عدم انتقال مواد غذایی از لپه‌ها به جنین اشاره نمود. علاوه بر آن کاهش جذب آب توسط بذر در شرایط تنش زا باعث کاهش ترشح هورمون‌ها، فعالیت آنزیم‌ها و در نتیجه اختلال در رشد ریشه‌چه می‌شود (Kafi *et al.*, 2009). همچنین مشخص شد که نانو دی اکسید تیتانیوم موجب افزایش رشد ریشه‌چه جو می‌گردد (جدول ۲). در این رابطه افزایش متabolism گیاه برنج در اثر استفاده از n-TiO₂ گزارش شده است (Chutipaijit, 2015). کاربرد نیترو پروساید سدیم به تنهایی یا هم‌زمان با نانو دی اکسید تیتانیوم در بهبود طول ریشه‌چه در شرایط تنش شوری موثر بود. اما تاثیر این

جدول ۱- تجزیه واریانس (میانگین مربعات) صفات مورد بررسی جو تحت تاثیر نانو دیاکسید تیتانیوم، نیترو پروساید سدیم و تنش شوری.

Table 1. Analysis of variance (Mean square) for studied traits of barley under n-TiO₂, SNP and Salinity stress

منابع تغییرات S.O.V	درجه آزادی df	درصد جوانه‌زنی Germination %	سرعت جوانه زنی Germination rate	طول ریشه‌چه Radicle length	طول ساقه‌چه Plumule length	شاخص بنیه Vigor index	میانگین زمان جوانه زنی Mean germination time	محتوی رطوبت نسبی برگ water Relative leaf of content	سوپر اکسید Dismutase SOD	آسکوربیات پراکسیداز APX	کاتالاز CAT	نشت الکترولیتی Electrolyte Leakage
شوری Salinity (S)	2	5018.46 **	6.06 **	164.54 **	46.48 **	9384024.30 **	6.04 **	5018.46 **	465.41 **	3.09 **	25075.60 **	2905.40 **
نانو دیاکسید تیتانیوم TiO ₂ (N)	3	1364.81 **	1.49 **	38.40 **	34.52 **	2898292.64 **	1.42 **	1272.98 **	108.83 **	0.32 **	18531.94 **	678.55 **
نیترو پروساید سدیم SNP (T)	1	666.76 **	2.10 **	55.17 **	52.45 **	3208520.25 **	2.01 **	666.76 **	155.30 **	0.057 ns	28484.40 **	970.63 **
شوری × نانو دیاکسید تیتانیوم S×N	6	3.31 ns	0.59 **	17.91 **	8.80 **	232676.94 **	0.59 **	3.31 ns	50.41 **	0.24 **	4789.55 **	314.98 **
شوری × نیترو پروساید سدیم S×T	2	4.19 ns	0.23 **	5.66 **	4.97 **	293492.37 **	0.25 *	4.19 ns	16.05 **	0.019 ns	2640.28 *	100.34 **
نانو دیاکسید تیتانیوم × نیترو پروساید سدیم N×T	3	42.03 ns	0.26 **	7.57 **	0.45 ns	140264.74 *	0.27 **	42.03 ns	21.34 **	0.31 **	224.04 ns	133.40 **
شوری × نانو دیاکسید تیتانیوم × نیترو پروساید سدیم S×N×T	6	51.35 *	0.13 **	2.48 *	0.65 ns	60745.44 ns	0.12 *	51.35 *	6.97 *	0.11 **	340.86 ns	43.62 *
خطا Error	72	20.32	0.04	0.97	0.99	51468.91	0.055	20.32	3.23	0.025	642.16	15.58
ضریب تغییرات (%) CV (%)	-	5.94	8.41	7.38	9.87	12.42	9.41	6.34	8.00	10.32	10.83	6.99

ns, * و ** به ترتیب نشانگر عدم وجود اثر معنی‌دار و اثر معنی‌دار در سطوح ۵ و ۱ درصد می‌باشد

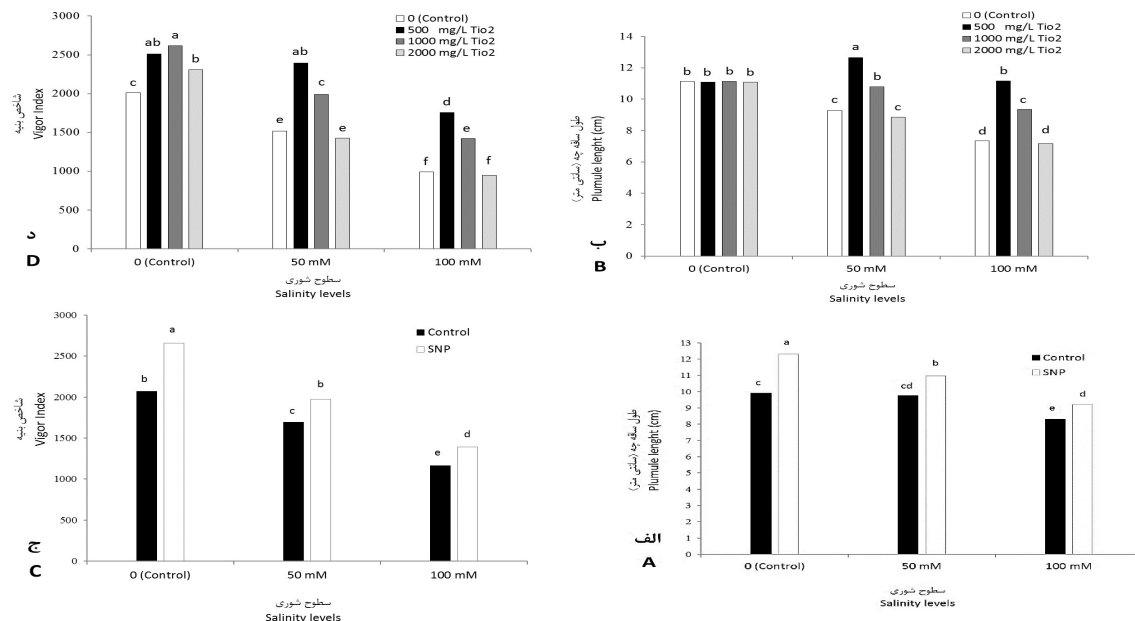
ns, * and ** are Non-significant and significant at the 5% and 1% probability levels, respectively.

جدول ۲- مقایسه میانگین اثر متقابل نانو ذره تیتانیوم، نیترو پروساید سدیم و تنش شوری بر صفات مورد بررسی در جو
Table 2. Mean comparison of n-TiO₂, SNP and Salinity stress interaction on barley studied traits

طول ریشه‌چه (سانتی‌متر) Radicle Length (cm)	سرعت جوانه زنی (بذر بر روز) Germination Rate (Seed day ⁻¹)	درصد جوانه زنی Germination %	نیترو پروساید سدیم (میکرو مولار) SNP (μM)	تیمارها Treatments	شوري (میلی‌مولار) Salinity (mM)	
					نانو دی اکسید تیتانیوم TiO ₂ (mg L ⁻¹)	شوري (میلی‌مولار) Salinity (mM)
0	12.95 efg	2.40 fgh	80.25 ef	0	0	0
	14.60 d	2.70 de	80.50 ef	100	0	100
	11.99 ghi	2.22 ghij	91.50 bc	500	100	100
	18.00 a	3.47 a	99.75 a	1000	0	99.75 a
	16.40 bc	3.03 bc	87.50 cd	2000	100	97.25 ab
	17.71 ab	3.28 abc	97.25 ab	0	0	79.00 ef
	16.79 abc	3.28 ab	83.25 de	100	100	83.25 de
	17.75 ab	3.11 bc	67.00 hij	0	0	67.00 hij
	11.15 hij	2.06 jk	76.00 fg	100	100	76.00 fg
	12.48 fgh	2.31 ghij	83.50 de	500	100	83.50 de
50	14.20 de	2.69 e	88.00 cd	1000	0	88.00 cd
	16.14 c	2.99 cd	81.00 ef	2000	100	83.75 de
	13.06 efg	2.42 efgh	69.50 hi	0	0	69.50 hi
	13.56 def	2.51 efg	71.00 gh	100	100	71.00 gh
	10.98 ij	2.03 jkl	50.25 l	0	0	50.25 l
	9.55 k	1.77 lm	64.00 ij	100	100	64.00 ij
	10.17 jk	2.68 ef	70.00 ghi	500	100	70.00 ghi
	12.90 efg	2.39 fghi	71.00 gh	1000	0	71.00 gh
100	14.49 d	2.68 ef	62.25 jk	2000	100	70.75 gh
	11.34 hij	2.10 ijk	70.75 gh	0	0	56.00 kl
	12.41 fgh	2.29 ghij	56.00 kl	100	100	55.75 l
	9.55 k	1.65 m	1.84 klm	500	100	1.84 klm
	9.95 jk			1000	100	

میانگین‌های با حروف مشابه در هر ستون براساس آزمون LSD در سطح ۵٪ اختلاف معنی‌دار ندارند.

Means followed by the same letters in each column are not significantly different at 5% level, according to LSD test.



شکل ۲- مقایسه میانگین اثر متقابل نیترو پروساید سدیم × شوری بر طول ساقه‌چه (الف) و شاخص بنیه (ج) مقایسه میانگین اثر متقابل نانو دی اکسید تیتانیوم × شوری بر طول ساقه‌چه (ب) و طول ساقه‌چه (د) در جو

Figure 2. Mean comparison of SNP × Salinity Interaction on plumule length (A) and Vigor Index (C). Mean comparison of n-TiO₂ × Salinity Interaction on Plumule length (B) and Vigor Index (D) of barley

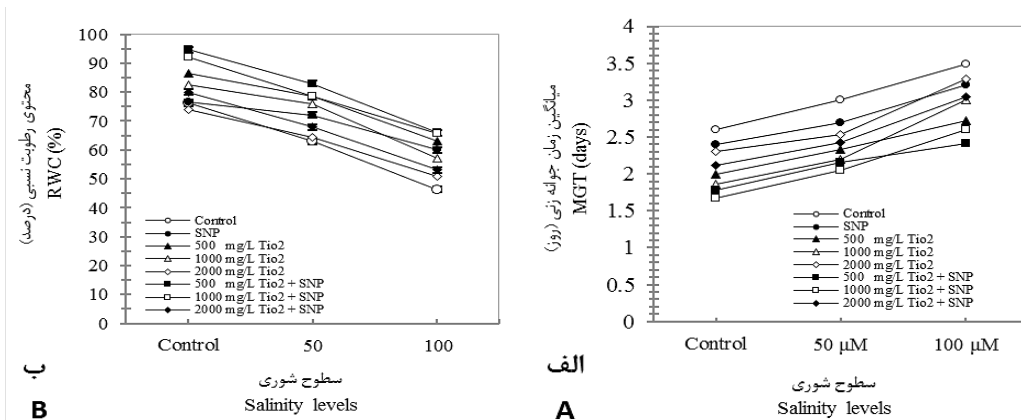
می‌رسد نانو دی‌اکسید تیتانیوم و نیترو پروساید سدیم با بهبود سرعت جوانهزنی در کاهش میانگین زمان جوانهزنی بذر جو مفید واقع شده است.

با توجه به نتایج بدست آمده، محتوی رطوبت نسبی برگ (RWC) در گیاهچه‌های جو به طور معنی‌داری تحت تأثیر هر سه فاکتور مورد مطالعه قرار گرفت (جدول ۱). به طور کلی در گیاهان تحت تنش شوری، کاهش پتانسیل آب گیاه ناشی از کاهش آب سلول و از دست دادن تورژسانس است. همچنین کاهش در میزان گلایسین تاثیری کل در سطح بالای شوری ممکن است سبب کاهش محتوای آب باشد (Khan *et al.*, 2000). با توجه به معنی‌دار شدن برهمکنش سه جانبه نانو دی‌اکسید تیتانیوم × نیترو پروساید سدیم × تنش شوری بیشترین محتوی رطوبت نسبی برگ گیاهچه‌ی جو، در تیمار ۵۰۰ میلی‌گرم در لیتر نانو دی‌اکسید تیتانیوم + نیترو پروساید سدیم تحت شوری ۵۰ میلی‌مولا ر و عدم تنش حاصل شد. از سوی دیگر در شوری ۱۰۰ میلی‌مولا بین غلظت‌های ۵۰۰ و ۱۰۰۰ میلی‌گرم در لیتر نانو دی‌اکسید تیتانیوم + SNP اختلاف معنی‌داری دیده نشد و بیشترین محتوی رطوبت نسبی سطوح مذکور حاصل گردید (شکل ۳ ب). بر اساس یافته‌های حاصل از آزمایش به نظر می‌رسد کاربرد نانو دی‌اکسید تیتانیوم و نیترو پروساید سدیم در بهبود وضعیت محتوی رطوبت نسبی برگ گیاهچه‌ها مفید واقع شده است. در آزمایشی بر روی گیاه ریحان نیز استفاده از نانو دی‌اکسید تیتانیوم با بهبود محتوی رطوبتی گیاه موجب بهبود تحمل گیاه نسبت به تنش خشکی گردید (Kiapour *et al.*, 2015). تأثیر مثبت نیتریک اکسید بر محتوای رطوبت نسبی گیاهان تحت شرایط تنش زا نیز Seabra *et al.*, (2015) اثبات شده است که نیتریک اکسید با تأثیر بر پمپ پروتونی H^+ -ATPase و H^+ -Ppase بر روی تبادلات یونی سدیم و هیدروژن تأثیر گذاشته و موجب بهبود محتوی رطوبت گیاه در شرایط تنش شوری می‌شود (Zhang *et al.*, 2006).

برهمکنش سه‌گانه‌ی نانو دی‌اکسید تیتانیوم × نیترو پروساید سدیم × تنش شوری بر فعالیت آنزیم‌های آنتی اکسیدانت سوپر اکسید دیسموتاز (SOD) و آسکوربات پراکسیداز (APX) معنی‌دار بود (جدول ۱). نتایج مقایسه‌ی میانگین داده‌های حاصل از آزمایش حاکی از آن

۱۰۰۰ میلی‌گرم نانو دی‌اکسید تیتانیوم اختلاف معنی‌داری دیده نشد که بیشترین شاخص بنیه را ایجاد نمودند (شکل ۲ د). به نظر می‌رسد هر یک از ترکیبات نانو دی‌اکسید تیتانیوم و نیترو پروساید سدیم با بهبود درصد جوانهزنی و طول گیاهچه‌ی جو موجب افزایش معنی‌دار شاخص بنیه جو گردیده است. برخی محققین بهبود فعالیت آنزیم نیترات ردوکتاز و دیگر آنتی اکسیدانت‌ها را عامل موثر در بهبود خصوصیات جوانهزنی بذور تیمار شده با نانو دی‌اکسید تیتانیوم دانسته اند (Lu *et al.*, 2002). در آزمایشی بر روی بذر جعفری نیز فرم آناتاز نانو اکسید Hashemi تیتانیوم موجب بهبود شاخص بنیه گردید (Dehkourdi and Mosavi Mousa, 2013) که نتیجه تحقیق حاضر با آن همخوانی دارد.

شوری موجب تاخیر در جوانهزنی بذور و افزایش میانگین زمان جوانهزنی شد (شکل ۳ الف). در تنش شوری به علت کاهش پتانسیل آب محیط اطراف بذر، زمان بیشتری برای بدست آوردن آب کافی مورد نیاز است. در چنین شرایطی و در حضور نانو دی‌اکسید تیتانیوم با کاربرد نیترو پروساید سدیم میانگین زمان جوانهزنی کاهش یافت (شکل ۳ الف). بر اساس برهمکنش سه گانه نانو دی‌اکسید تیتانیوم × نیترو پروساید سدیم × تنش شوری، تیمار نانو دی‌اکسید تیتانیوم (۱۰۰۰ میلی‌گرم در لیتر) و نیترو پروساید سدیم (۱۰۰ میکرومولا) کمترین میانگین زمان جوانهزنی را در شوری ۵۰ میلی‌مولا و عدم تنش به خود اختصاص داد. همچنین کاربرد ۵۰۰ میلی‌گرم در لیتر نانو دی‌اکسید تیتانیوم و نیترو پروساید سدیم کمترین میانگین زمان جوانهزنی را در شوری ۱۰۰ میلی‌مولا داشت (شکل ۳ الف). تیمار نانو دی‌اکسید تیتانیوم (۵۰۰ میلی‌گرم در لیتر) + نیترو پروساید سدیم میانگین زمان جوانهزنی را از ۳/۴۹ به ۲/۴۱ روز تحت تنش شوری ۱۰۰ میلی‌مولا کاهش داد (شکل ۳ الف). در پژوهشی بر روی بذر رازیانه نشان داده شد که استفاده از ۴۰ پی‌پی‌ام نانو دی‌اکسید تیتانیوم میانگین زمان جوانهزنی را ۳۱/۸ درصد کاهش داد (Feizi *et al.*, 2013). محمودزاده و همکاران (Mahmoodzadeh *et al.*, 2013) نیز گزارش نمودند که غلظت‌های ۱۰۰۰ تا ۱۷۰۰ میلی‌گرم نانو دی‌اکسید تیتانیوم در لیتر موجب کاهش میانگین زمان جوانهزنی بذور کلزا می‌شود. از آنجایی که میانگین زمان جوانهزنی با سرعت جوانهزنی رابطه عکس دارد، به نظر



شکل ۳- تأثیر نانو دی اکسید تیتانیوم و نیترو پروساید سدیم بر میانگین زمان جوانهزنی (الف) و محتوای رطوبت نسبی (ب) جو تحت تنش شوری

Figure 3. Effect of n-TiO₂ and SNP on mean germination time (A) and relative water content (B) of barley under salinity stress

را ۱۰/۶ و ۱۹/۲ درصد تحت سطح شوری ۵۰ و ۱۰۰ میلی مولار افزایش داد (شکل ۴ ب). بر اساس یافته های حاصل از آزمایش، میزان فعالیت آنزیم های SOD، APX و CAT گیاهچه ی جو در اثر تیمار با نانو دی اکسید تیتانیوم و نیترو پروساید سدیم افزایش یافته است. در این رابطه مطالعه بر روی گیاه گوجه فرنگی نشان داد نانو دی اکسید تیتانیوم با افزایش فعالیت آنزیم های SOD و POX موجب بهبود خصوصیات رشدی گیاه تحت شرایط تنش شوری می گردد (Nasir et al., 2016). محمدی و همکاران (Khan, 2014) نیز اظهار نمودند که نانو دی اکسید تیتانیوم با تاثیر بر بیان ژن های آنزیم های آنتی اکسیدانت و افزایش فعالیت آنزیم کاتالاز موجب تعدیل اثر مخرب تنش بر گیاه نخود شده است. در آزمایشی دیگر بر روی کلزا مشاهده شد که غلظت های مختلف نانو دی اکسید تیتانیوم موجب افزایش فعالیت کاتالاز، پراکسیداز و سوپر اکسید دیسموتاز گردیده است (Li et al., 2015). همچنین تاثیر مثبت SNP بر فعالیت آنزیم های آنتی اکسیدانت اثبات شده است. در همین رابطه مانایی و همکاران (Manai et al., 2014) اظهار نمودند که نیتریک اکسید می تواند با فعل کردن آنتی اکسیدانت ها در گیاه سبب کاهش آسیب اکسیداتیو شده و منجر به بهبود صفات فیزیولوژیکی گیاه گوجه فرنگی تحت تنش شوری شود.

است که با تشدید شوری میزان فعالیت آنزیم های آنتی اکسیدانت کاتالاز و آسکوربات پراکسیداز افزایش یافته است (جدول ۳). علاوه بر شوری، میزان فعالیت آنزیم های SOD و APX تحت تاثیر ترکیبات n-TiO₂ و SNP قرار گرفتند. بر اساس برهمکنش سه گانه نانو دی اکسید تیتانیوم، نیترو پروساید سدیم و تنش شوری ملاحظه می شود در حضور ۵۰۰ (۵۰ میلی گرم) و مصرف ۱۰۰ میکرومولار نیترو پروساید سدیم فعالیت آنزیم های SOD و APX به ترتیب ۲۸ و ۱۶/۸ درصد نسبت به تیمار شاهد در تنش شوری ۱۰۰ میلی مولار افزایش یافته است (جدول ۳)، در رابطه با آنزیم کاتالاز، علاوه بر اثرات ساده ای فاکتورهای نانو دی اکسید تیتانیوم، نیترو پروساید سدیم و تنش شوری، برهمکنش نانو دی اکسید تیتانیوم × شوری و برهمکنش نیترو پروساید سدیم × شوری بر فعالیت آنزیم کاتالاز معنی دار بود (جدول ۱). تیمار ۵۰۰ میلی گرم در ۵ لیتر n-TiO₂ فعالیت آنزیم کاتالاز را در شرایط شوری ۱۰۰ میلی مولار و عدم تنش افزایش داد اما در شوری ۱۰۰ میلی مولار بین غلظت های مختلف نانو دی اکسید تیتانیوم اختلاف معنی داری مشاهده نشد (شکل ۴ الف). همچنین برهمکنش نیترو پروساید سدیم × شوری بر آنزیم کاتالاز نشان داد که استفاده از نیترو پروساید سدیم تحت سطوح مختلف شوری موجب افزایش فعالیت آنزیم کاتالاز نسبت به تیمار شاهد شده است (شکل ۴ ب). برای مثال، کاربرد ۱۰۰ میکرومولار نیتروپروساید سدیم فعالیت آنزیم کاتالاز

آنژیم‌ها، آسیب به اندامک‌های سلولی، از بین بردن غشاء و نهایتاً منجر به مرگ سلولی در گیاهان شوند (Suzuki *et al.*, 2012). به نظر می‌رسد نانو دی‌اکسید تیتانیوم با افزایش فعالیت آنزیم‌های کاتالاز، سوبر اکسید دیسموتاز و آسکوربات پراکسیداز موجب کاهش آسیب ناشی از گونه‌های فعال اکسیژن و در نتیجه کاهش نشت الکتروولیتی غشاء شده است. در گیاه نخود نیز مشاهده شد استفاده از نانو دی‌اکسید تیتانیوم موجب استحکام غشاء سلول‌های ریشه با کاهش نشت الکتروولیت و کاهش پراکسیداسیون لیپیدها شده و افزایش مقاومت گیاه به تنفس را به دنبال داشته است (Mohammadi *et al.*, 2013).

شایان ذکر است تاثیر مثبت نیترو پروساید سدیم نیز در کاهش آسیب گونه‌های فعال اکسیژن و افزایش سلامت غشاء توسط دیگر محققین منتشر شده است (He *et al.*, 2014; Nasibi *et al.*, 2009).

بر اساس نتایج تجزیه واریانس داده‌های آزمایش، اثر متقابل سه جانبه نانو دی‌اکسید تیتانیوم × نیترو پروساید سدیم × تنفس شوری بر درصد نشت الکتروولیتی غشاء در سطح احتمال ۵ درصد معنی‌دار بود (جدول ۱). درصد نشت الکتروولیتی غشاء با تشديد تنفس شوری افزایش یافت. در چنین شرایطی استفاده از نانو دی‌اکسید تیتانیوم و تخفیف دهنده‌ی نیترو پروساید سدیم موجب کاهش درصد نشت الکتروولیتی غشاء گردید (جدول ۳). میزان کاهش در تیمار n-TiO₂ (به خصوص ۵۰۰ و ۱۰۰۰ میلی گرم در لیتر) و SNP بیشتر از دیگر تیمارها در شرایط تنفس شوری بود (جدول ۳). تیمار نانو دی‌اکسید تیتانیوم (۵۰۰ میلی‌گرم در لیتر) + نیترو پروساید سدیم نشت الکتروولیتی غشا را ۱۸ درصد تحت تنفس ۱۰۰ میلی‌مولار کاهش داد (جدول ۳) این برتری در دیگر تیمارها نیز مشاهده شد. به طور کلی در تنفس‌های محیطی و زنده گونه‌های فعال اکسیژن می‌توانند موجب غیرفعال کردن

جدول ۳- مقایسه میانگین اثر متقابل نانو ذره تیتانیوم، نیترو پروساید سدیم و تنفس شوری بر صفات مورد بررسی در جو

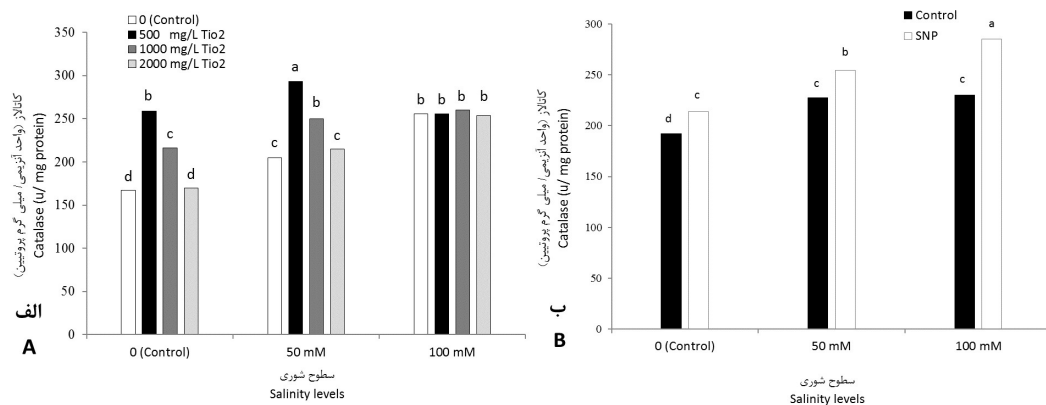
Table 3. Mean comparison of n-TiO₂, SNP and Salinity stress interaction on barley studied traits

شوری (میلی‌مولار) Salinity (mM)	تیمارها Treatments	آسکوربات پراکسیداز سوبر اکسید دیسموتاز (واحد بر میلی‌گرم)				نشت الکتروولیتی (درصد) Electrolyte Leakage (%)
		نیترو پروساید سدیم (میلی‌گرم) TiO ₂ (mg L ⁻¹)	نانو دی‌اکسید تیتانیوم (میلی‌گرم) SNP (µM)	نیترو پروساید سدیم (میلی‌گرم) SOD (u/ mg protein)	پروتیین (APX) بروتیین (u/ mg protein)	
0	0	0	0	16.08 k	1.04 jk	43.18 klm
		100	100	17.12 jk	1.44 defgh	40.53 m
	500	0	21.72 fgh	1.62 cd	61.25 d	
		100	24.37 de	1.27 ghi	54.63 efg	
	1000	0	19.08 ij	1.39 efgh	52.53 fghi	
		100	20.88 ghi	1.07 ijk	48.01 hijk	
50	2000	0	16.08 k	0.94 k	42.21 lm	
		100	16.76 jk	1.25 ghij	40.53 m	
	0	0	18.77 ij	1.40 efgh	52.83 fgh	
		100	21.01 ghi	1.59 cde	47.23 ijk	
	500	0	23.90 def	1.81 bc	68.20 c	
		100	27.15 c	1.46 defg	60.06 de	
100	1000	0	21.99 efgh	1.52 def	57.48 def	
		100	22.88 defg	1.23 hij	55.26 efg	
	2000	0	18.50 ijk	1.32 fgh	49.88 ghij	
		100	19.82 hi	1.45 defgh	46.57 jkl	
	0	0	21.80 fgh	1.63 cd	61.74 d	
		100	24.57 d	1.34 fgh	54.81 efg	
100	500	0	20.20 hi	2.01 ab	76.03 a	
		100	30.28 a	1.96 ab	50.83 ghij	
	1000	0	27.61 bc	1.98 ab	74.78 ab	
		100	29.80 ab	1.88 b	69.30 bc	
	2000	0	28.25 abc	1.99 ab	74.97 a	
		100	29.86 ab	2.13 a	70.94 abc	

میانگین‌های با حروف مشابه در هر ستون براساس آزمون LSD در سطح ۵٪ اختلاف معنی‌دار ندارند.

Means followed by the same letters in each column are not significantly different at 5% level .accoLSD test.

Means followed by the same letters in each column are not significantly different at 5% level, according to LSD.



شکل ۴- مقایسه میانگین اثر متقابل نانو دی اکسید تیتانیوم × شوری بر میزان آنزیم کاتالاز (الف). مقایسه میانگین اثر متقابل نیترو پروساید سدیم × شوری بر میزان آنزیم کاتالاز (ب) در جو

**Figure 4. Mean comparison of n-TiO₂ × Salinity Interaction on Catalase enzyme content (A)
Mean comparison of SNP × Salinity Interaction on Catalase enzyme content (B) in barley**

های نانو دی اکسید تیتانیوم، تیمار ۲۰۰۰ میلی گرم در لیتر نانو دی اکسید تیتانیوم تاثیر کمتری در مقایسه با سایر غلظتها در شرایط بدون تنش داشت. کاربرد ۱۰۰ میکرومولار نیترو پروساید سدیم در شرایط تنش شوری اثرات منفی تنش بر روی مولفه‌های جوانهزنی و رشد گیاهچه را تعدیل نمود ولی تاثیر آن در شرایط بدون تنش شوری بر اکثر صفات مورد بررسی معنی دار نبود. بنابراین به نظر می‌رسد کاربرد نیترو پروساید سدیم در غلظت مذکور در حضور نانو دی اکسید تیتانیوم در محیط جوانه زنی با تعديل اثرات بازدارنده کلرید سدیم طی تنش شوری، بر بهبود شاخص‌های جوانهزنی گیاهچه‌های جو رقم افضل تاثیر مناسبی دارد.

نتیجه‌گیری کلی

نتایج این پژوهش نشان داد افزایش غلظت کلرید سدیم در محیط جوانه زنی با کاهش جذب آب توسط بذر سبب کاهش محتوی رطوبت نسبی، آسیب به غشاء و در نتیجه افزایش میزان نشت الکترولیتی شد و به دنبال آن کاهش معنی‌دار در شاخص‌های جوانهزنی رخ داد. غلظت‌های مختلف نانو دی اکسید تیتانیوم تاثیر متفاوتی بر روی صفات مورد مطالعه در شرایط تنش شوری و عدم شوری داشت. حضور نانو دی اکسید تیتانیوم در محیط جوانهزنی به ویژه در غلظت ۵۰۰ میلی گرم در لیتر موجب بهبود صفات جوانهزنی، محتوی رطوبت نسبی برگ در گیاهچه و افزایش فعالیت آنزیمهای آنتی اکسیدانت به ویژه سوبر اکسید دیسموتاز در تنش شوری گردید. در بین غلظت-

منابع

- Abdul-Baki, A. A. and Anderson, J. D. 1973. Vigour determination in soybean by multiple criteria. *Crop Science*. 10: 4-31. (**Journal**)
- Baiazidi Aghdam, M. T., Mohammadi, H. and Ghorbanpour, M. 2016. Effects of nanoparticulate anatase titanium dioxide on physiological and biochemical performance of *Linum usitatissimum* (Linaceae) under well-watered and drought stress conditions. *Brazilian Journal of Botany*. 39: 139-146. (**Journal**)
- Bajji, M., Kinet, J. M. and Lutts, S. 2002. Osmotic and ionic effects of NaCl on germination, early seedling growth, and ion content of *Atriplex halimus* (Chenopodiaceae). *Canadian Journal of Botany*. 80: 297-304. (**Journal**)
- Besson-Bard, A., Courtois, C., Gauthier, A., Dahan, J., Dobrowolska, G., Jeandroz, S. and Wendehenne, D. 2008. Nitric oxide in plants: production and cross-talk with Ca²⁺ signaling. *Molecular Plant*. 1: 218-228. (**Journal**)

- Bowler, C., Slooten, L., Vandenbranden, S., De Rycke, R., Botterman, J., Sybesma, C., Van Montagu, M. and Inzé, D. 1991. Manganese superoxide dismutase can reduce cellular damage mediated by oxygen radicals in transgenic plants. *The EMBO Journal*. 10: 1723-1732. (**Journal**)
- Britton, C. and Mehley, A. 1955. Assay of catalase and peroxidase. *Methods in Enzymology*. 2: 764-775. (**Journal**)
- Chutipaijit, S. 2015. Establishment of condition and nano particle factors influencing plant regeneration from aromatic rice (*Oryza sativa*). *International Journal of Agriculture & Biology*. 17: 1049-1054. (**Journal**)
- Djanaguiraman, M. and Prasad, P. V. 2013. Effects of salinity on ion transport, water relations and oxidative damage. In *Ecophysiology and Responses of Plants under Salt Stress*. Springer New York. pp: 89-114.
- Ellis, R. H. and Roberts, E. H. 1981. The quantification of ageing and survival in orthodox seeds. *Seed Science and Technology*. 9: 377-409. (**Journal**)
- Farahani, H. A., Sani, B. and Maroufi, K. 2012. The germination variations in fleawort (*Plantago psyllium* L.) by nano-particle. International conference on biotechnology, nanotechnology and its application. 17-18 March, Bangkok, Thailand. pp: 43-46. (**Journal**)
- Fathi Amirkhiz, K., Omidi, H., Heshmati, S. and jafarzadeh, L. 2012. Expedited review on the vigor of the herb black seed germination characteristics (*Nigella sativa* L.) under salt stress. *Iranian Journal of Field Crops Research*. 10: 299-310. (In Persian) (**Journal**)
- Feizi, H., Kamali, M., Jafari, L. and Rezvani-Moghaddam, P. 2013. Phytotoxicity and stimulatory impacts of nanosized and bulk titanium dioxide on fennel (*Foeniculum vulgare*). *Chemosphere*. 91: 506-511. (In Persian) (**Journal**)
- Frazier, T. P., Burkew, C. E. and Zhang, B. 2014. Titanium dioxide nanoparticles affect the growth and microRNA expression of tobacco (*Nicotiana tabacum*). *Funct Integr Genomics*, 14: 75-83.
- Ghadi, N. A. 2014. Invest age of effects of Sodium Nitroprusside on Plant (Review). *International Journal of Agriculture and Crop Sciences*. 7: 610-615. (**Journal**)
- Gogos, A., Knauer, K. and Bucheli, T. 2012. Nanomaterials in plant protection and fertilization: current state, foreseen applications, and research priorities. *Journal of Agricultural and Food Chemistry*. 60: 9781-9792. (**Journal**)
- Guo, Y., Tian, Z., Yan, D., Zhang, J. and Qin, P. 2009. Effects of nitric oxide on salt stress tolerance in *Kosteletzkya virginica*. *Life Sciences Journal*. 6: 67-75. (**Journal**)
- Hashemi Dehkourdi, E. and Mosavi, M. 2013. Effect of anatase nanoparticles (TiO₂) on parsley seed germination (*Petroselinum crispum*) In Vitro. *Biological Trace Element Research*. 155: 283-286. (In Persian) (**Journal**)
- He, J., Ren, Y., Chen, X. and Chen, H. 2014. Protective roles of nitric oxide on seed germination and seedling growth of rice (*Oryza sativa* L.) under cadmium stress. *Ecotoxicology and environmental safety*. 108: 114-119. (**Journal**)
- Ibrahim, E. A. 2016. Seed priming to alleviate salinity stress in germinating seeds. *Journal of Plant Physiology*. 192: 38-46. (**Journal**)
- Jaberzadeh, A., Moaveni, P., Moghadam, H. R. T. and Zahedi, H. 2013. Influence of bulk and nanoparticles titanium foliar application on some agronomic traits, seed gluten and starch contents of wheat subjected to water deficit stress. *Notulae Botanicae Horti Agrobotanici Cluj-Napoca*. 41: 201-207. (In Persian) (**Journal**)
- Kafi, M., Nezami, A., Hoseyni, H. and Masoomi, A. 2009. Physiological effects of drought stress by polyethylene glycol on germination of lentil (*Lens culinaris Medik* L.) genotypes. *Journal of Iranian Field Crop Research*. 1: 69-79. (In Persian) (**Journal**)
- Khan, M. A. and Ungar, I. A. 1984. The effect of salinity stress and temperature on the germination of polymorphic seeds and growth of *triplex triangularis* willd. *American Journal of Botany*. 71: 481-489. (**Journal**)
- Khan, M. A., Ungar, I. A. and Showalter, A. M. 2000. The effect of salinity on the growth, water status, and ion content of a leaf succulent perennial halophyte, *Suaeda fruticosa* (L.) Forssk. *Journal of Arid Environments*. 45: 73-84. (**Journal**)
- Khot, L. R., Sankaran, S., Maja, J. M., Ehsani, R. and Schuster, E. W. 2012. Applications of nanomaterials in agricultural production and crop protection: A review. *Crop Protection*. 35: 64-70. (**Journal**)

- Kiapour, H., Moaveni, P., Habibi, D. and Sani, B. 2015. Evaluation of the application of gibberellic acid and titanium dioxide nanoparticles under drought stress on some traits of basil (*Ocimum basilicum L.*). International Journal of Agronomy and Agricultural Research. 6: 138-150. (**Journal**)
- Lu, C. M., Zhang, C. Y., Wen, J. Q., Wu, G. R. and Tao, M. X. 2002. Research of the effect of nanometer materials on germination and growth enhancement of *Glycine max* and its mechanism. Soya Bean Science. 21: 168-172. (**Journal**)
- Mahmoodzadeh, H. and Aghili, R. 2014. Effect on germination and early growth characteristics in wheat plants (*Triticum aestivum L.*) seeds exposed to TiO₂ nanoparticles. Journal of Chemical Health Risks. 4: 29-36. (In Persian) (**Journal**)
- Mahmoodzadeh, H., Nabavi, M. and Kashefi, H. 2013. Effect of nanoscale titanium dioxide particles on the germination and growth of canola (*Brassica napus*). Journal of Ornamental and Horticultural Plants. 3: 25-32. (In Persian) (**Journal**)
- Manai, J., Gouia, H. and Corpas, F. J. 2014. Redox and nitric oxide homeostasis are affected in tomato (*Solanum lycopersicum L.*) roots under salinity-induced oxidative stress. Journal of plant physiology. 171: 1028-1035. (**Journal**)
- Misra, P., Shukla, P. K., Pramanik, K., Gautam, S. and Kole, C. 2016. Nanotechnology for crop improvement. Plant Nanotechnology. Springer International Publishing, pp: 219-256.
- Mohammadi, R., Maali-Amiri, R. and Abbasi, A. 2013. Effect of TiO₂ nanoparticles on chickpea response to cold stress. Biological Trace Element Research. 152: 403-410. (In Persian) (**Journal**)
- Mohammadi, R., MaaliAmiri, R. and Mantri, N. L. 2014. Effect of TiO₂ Nanoparticles on oxidative damage and antioxidant defense systems in Chickpea seedlings during cold stress. Russian Journal of Plant Physiology. 61: 768-775. (In Persian) (**Journal**)
- Nakano, Y. and Asada, K. 1987. Purification of ascorbate peroxidase in spinach chloroplast: inactivation in ascorbate-depleted medium and reactivation by monodehydro ascorbate radical. Plant Cell Physiology. 28: 131-140. (**Journal**)
- Nasibi, F., Kalantari, K. M. and Khodashenas, M. 2009. The effect of sodium nitroprusside (SNP) pretreatment on some biochemical parameters in tomato seedlings (*Lycopersicum esculentum L.*) under drought stress. Journal of Agricultural Sciences and Natural Resources. 16: 121-133. (In Persian) (**Journal**)
- Nasir Khan, M. 2016. Nano-titanium dioxide (nano-Tio2) mitigates NaCl stress by enhancing antioxidative enzymes and accumulation of compatible solutes in tomato (*Lycopersicon esculentum Mill.*). Journal of Plant Science. 11: 1-11. (**Journal**)
- Nazar, R., Iqbal, N., Syeed, S. and Khan, N. A. 2011. Salicylic acid alleviates decreases in photosynthesis under salt stress by enhancing nitrogen and sulfur assimilation and antioxidant metabolism differentially in two mungbean cultivars. Journal of plant physiology, 168: 807-815.
- Pais, I. 1983. The biological importance of titanium. Journal of Plant Nutrition. 6: 3-131. (**Journal**)
- Qazvini, H. A., Yousefi, A. and Islam majidi. H. 2002. Afzal barley, soutable for planting in salty lands in temperate region of country. Technical Publications of vice-presidency of agricultural extension, pp: 1-2. (In Persian)
- Seabra, A. B., Rai, M. and Duran. N. 2015. Emerging role of nanocarriers in delivery of nitric oxide for sustainable agriculture. Nanotechnologies in Food and Agriculture. Springer International Publishing, pp: 183-207.
- Sepehri, A. and Rouhi, H. R. 2016. Enhancement of Seed Vigor Performance in Aged Groundnut (*Arachis hypogaea L.*) Seeds by Sodium Nitroprusside under Drought Stress. Philippine Agricultural Scientist. 99: 339-347. (**Journal**)
- Shalaby, E. E., Epstein, E. and Qualset, O. C. 1993. Variation in salt tolerance among some wheat and triticale genotypes. Journal of Agronomy and Crop Science. 171: 298-304. (**Journal**)
- Siddiqui, M. H. and Al-Whaibi, M. H. 2014. Role of nano-SiO₂ in germination of tomato (*Lycopersicum esculentum*). Saudi Journal of Biological Sciences. 21: 13-17.
- Suzuki, N., Koussevitzky, S., Mittler, R. O. N. and Miller, G. A. D. 2012. ROS and redox signalling in the response of plants to abiotic stress. Plant, Cell and Environment. 35: 259-270. (**Journal**)

- Tan, B. C., Chin, C. F. and Alderson, P. 2013. Effects of sodium nitroprusside on shoot multiplication and regeneration of *Vanilla planifolia* Andrews. In Vitro Cellular and Developmental Biology-Plant, 49: 626-630. (**Journal**)
- Zhang, Y., Wang, L., Liu, Y., Zhang, Q., Wei, Q. and Zhang, W. 2006. Nitric oxide enhances salt tolerance in maize seedlings through increasing activities of proton-pump and Na^+/H^+ antiport in the tonoplast. Planta, 224: 545–555. (**Journal**)
- Zheng, C., Jiang, D., Liu, F., Dai, T., Liu, W., Jing, Q. and Cao, W. 2009. Exogenous nitric oxide improves seed germination in wheat against mitochondrial oxidative damage induced by high salinity. Environmental and Experimental Botany, 67: 222-227. (**Journal**)
- Zheng, L., Hong, F., Lu, S. and Liu, C. 2005. Effect of nano-TiO₂ on strength of naturally aged seeds and growth of spinach. Biological Trace Element Research, 105: 83-91. (**Journal**)



Effect of Nano Titanium Dioxide and Sodium nitroprusside on seed germination, vigor index and antioxidant enzymes of Afzal barley seedling under salinity stress

Afshin Karami¹, Ali Sepehri^{*2}

Received: March 26, 2017

Accepted: September 12, 2017

Abstract

Salinity is the most important factor limiting growth and yield of crops in many area of the world. In order to study the effects of nano-TiO₂ (0, 500, 1000, 2000 mg/L) and sodium nitroprusside (0 and 100 µM) on seed germination and antioxidant content of barley (var. Afzal) under salinity stress (0, 50 and 100 mM Sodium chloride) a factorial experiment based on a completely randomized design with four replications was conducted. Salinity stress declined the germination indices such as, germination percentage, germination rate, radicle length, plumule length, vigor index, mean germination time, relative water content and increased the membrane electrolyte leakage. In the presence of nano-TiO₂, most of germination indices improved and the content of CAT, APX and especially SOD enzymes increased. Use of Sodium nitroprusside diminished the adverse effects of salinity stress and decreased the membrane electrolyte leakage. Also the interaction effect of sodium nitroprusside and nano-TiO₂ was significant on the most studied traits. Nano-TiO₂ (500 mg/L) with SNP improved SOD, APX and CAT enzyme contents by about 28, 16.8 and 17.9 % under 100 Mm salinity stress. According to the results, it seems that sodium nitroprusside diminished the adverse effects of salinity stress and impressed the nano-TiO₂ performance on barley germination indices and antioxidant enzymes content.

Keywords: Nano particle, Sodium chloride, Stress ameliorator

How to cite this article

Karami, A. and Sepehri, A. 2018. Effect of Nano Titanium Dioxide and Sodium nitroprusside on seed germination, vigor index and antioxidant enzymes of Afzal barley seedling under salinity stress. *Iranian Journal of Seed Science and Research*, 5(3): 47-61. (In Persian)(Journal)
DOI: 10.22124/jms.2018.2934

COPYRIGHTS

Copyrights for this article are retained by the author(s) with publishing rights granted to the Iranian Journal of Seed Science and Research

The content of this article is distributed under Iranian Journal of Seed Science and Research open access policy and the terms and conditions of the Creative Commons Attribution 4.0 International (CC-BY 4.0) License. For more information, please visit <http://jms.guilan.ac.ir/>

1. Ph.D Student in Agronomy, Crop Physiology, Faculty of Agriculture, Bu-Ali Sina University, Hamedan, Iran

2. Associate Professor, Department of Agronomy and Plant Breeding, College of Agriculture, Bu-Ali Sina University, Hamedan, Iran

*Corresponding author's Email: Sepehri110@yahoo.com